Sur le genre *Trypanoxyuris* (Oxyuridae, Nematoda) II. Sous-genre *Hapaloxyuris*parasite de Primates Callitrichidae

par Jean-Pierre Hugor

Résumé. — Redescription des quatre espèces connues dans le sous-genre *Hapaloxyuris* Inglis et Cosgrove, 1965.

Abstract. — Redescription of Trypanoxyuris (Hapaloxyuris) tamarini (Inglis & Dunn, 1964), T. (H). oedipi Inglis & Cosgrove, 1965, T. (H.) goeldii Inglis & Cosgrove, 1965, and T. (H.) callitricis (Solomon, 1933).

J.-P. Hugot, Laboratoire de Zoologie (Vers), associé au CNRS, Muséum national d'Histoire naturelle, 61, rue Buffon, F·75231 Paris cedex 05.

Le genre Trypanoxyuris Vevers, 1923, a été subdivisé par Inglis et Cosgrove (1965) en deux sous-genres : s.g. Trypanoxyuris sensu stricto, parasite de Primates Cebidae et Atelidae, et s.g. Hapaloxyuris Inglis et Cosgrove, 1965, parasite de Primates Callitrichidae.

Dans un travail précédent (Hugor, 1984), nous avons adjoint au genre *Trypanoxyu*ris un troisième sous-genre : s.g. *Rodentoxyuris* Quentin et Tenora, 1975, parasite de Rongeurs sciuridés holarctiques.

Nous redécrivons ci-dessous les quatre espèces connues dans le sous-genre Hapa-loxyuris.

ÉTUDE MORPHOLOGIQUE

Trypanoxyuris (Hapaloxyuris) tamarini (Inglis et Dunn, 1964)

Matériel étudié : 2 ♂ et 6 ♀ collectés dans la cœcum d'un *Tamarinus nigricollis* (Spix) provenant du Pérou ; 3 ♀ provenant d'un autre hôte de la même espèce et dans la même région. Collections du British Museum, nos 1963 (644-658) et 1963 (661-664).

DESCRIPTION

Caractères céphaliques: Dans les deux sexes, ouverture buccale petite, papilles céphaliques disposées en « carré », vésicule céphalique simple. Chez la femelle, les lèvres sont développées et la lèvre dorsale est hypertrophiée (fig. 1 B et 2 C).

Tableau I. — Mensurations, en μm, des spécimens représentés sur les figures. Chaque espèce est désignée par les trois premières lettres de son nom.

	ð				₽			
	JAM	OED	GOE	CAL	TAM	OED	GOE	CAL
Longueur du eorps	2 010	1 990	1 200	1 960	3 000	6 240	4 560	6 000
Largeur du eorps	90	90			120	400	230	400
Écarts des pores amphidiaux	16	14			28	28	28	20
Longueur de l'æsophage total	310	300	300	370	310	500	480	400
Dimensions du bulbe œsophagien	110×50	110 × 50	110 × 70	130×90	110 × 55	160 × 120	170 × 110	150×90
Distance apex:						0.00		
anneau nerveux	110	120	100	150	140	200	210	150
pore exeréteur	520	500	310	570	720	1 000	600	1 320
vulve					1 100	1 650	900	1 800
Longueur du spieule	57	48	48	50				
Longueur de la queue	25	23	20	24	600	1 370	950	950
Longueur de la pointe								
eaudale '	18	14	10	15				
Dimensions des œufs					75×35	$5 70 \times 32$	80×35	90×45

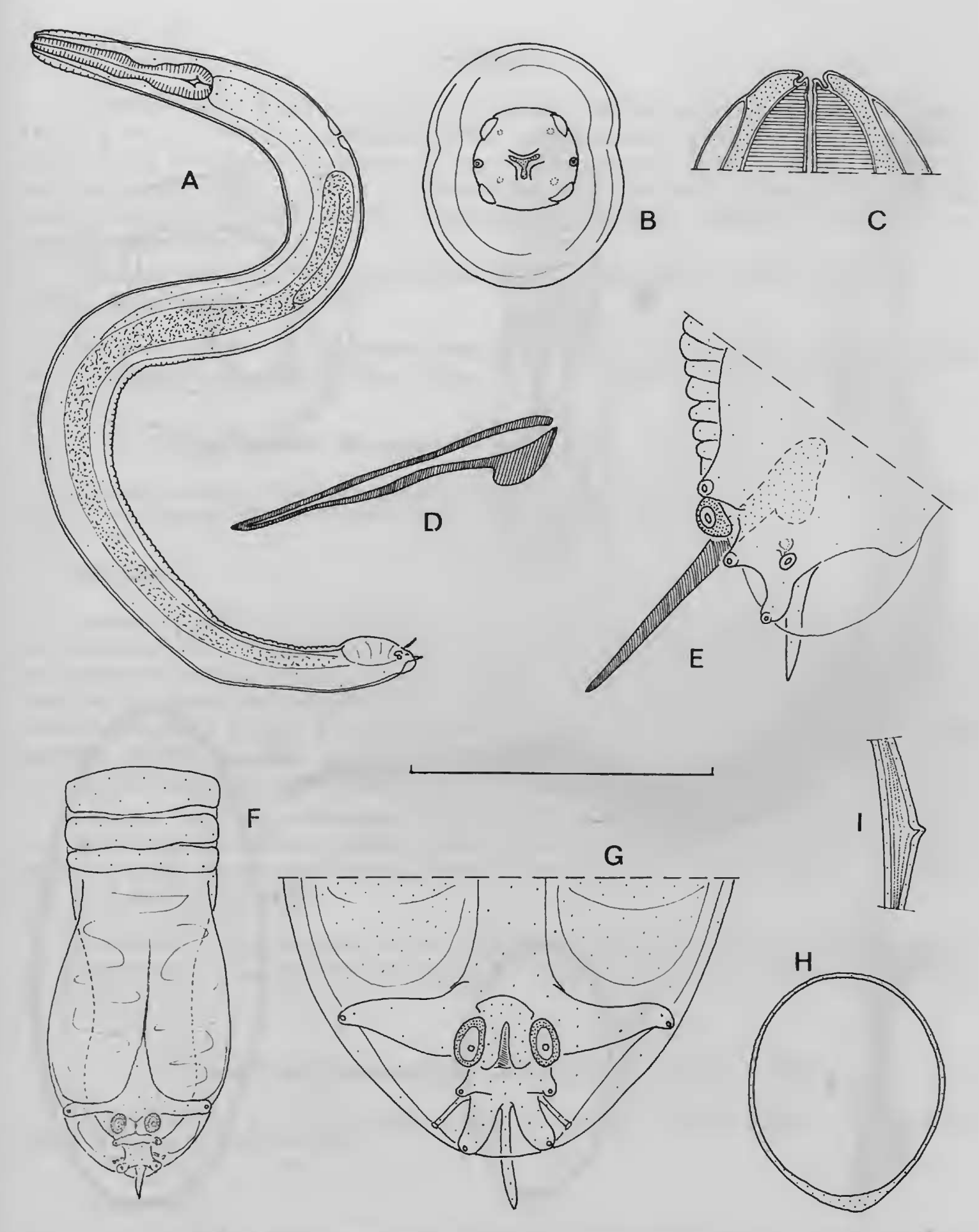


Fig. 1. — Trypanoxyuris (Hapaloxyuris) tamarini (Inglis et Dunn, 1964), δ. A, vue latérale droite; B, tête, vue apieale; C, id., coupe optique en vue ventrale; D, spicule, vue latérale gauche; E, bourse caudale, vue latérale gauche; F, id., vue ventrale; G, détail de la précédente; H, coupe transversale dans la région postérieure du corps; I, coupe transversale de l'aile latérale au milieu du corps. (Valeur de l'échelle: A, 500 μm; B, C, D, E, G et I, 50 μm; F et H, 100 μm.)



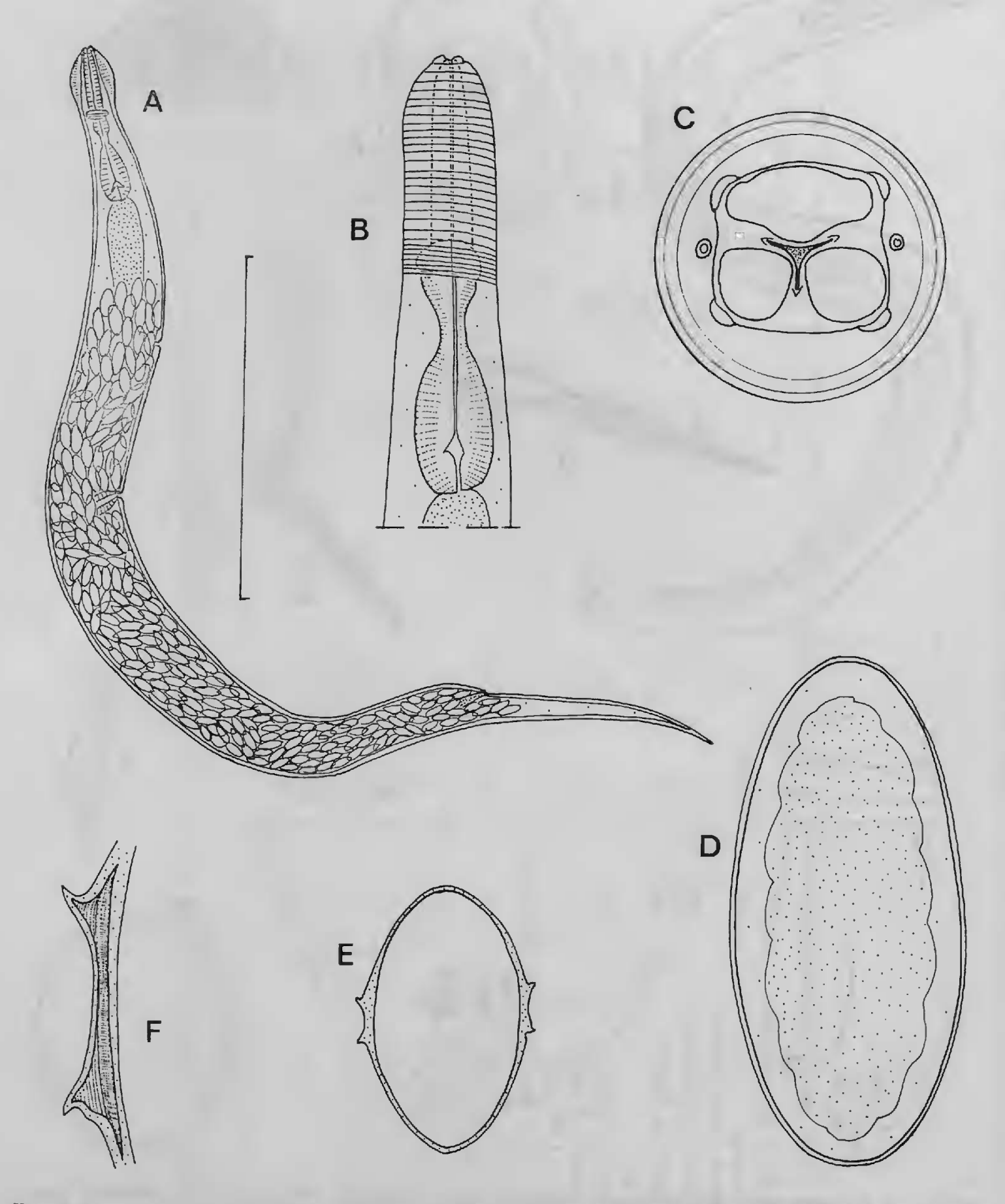


Fig. 2. — Trypanoxyuris (Hapaloxyuris) tamarini (Inglis et Dunn, 1964), \$\mathbb{Q}\$. A, vue latérale droite; B, id., détail de la région cervicale; C, tête, vue apicale; D, œuf; E, coupe transversale au milieu du corps; F, id., aile latérale, détail. (Valeur de l'échelle: A, 800 μm; B et E, 250 μm; C, D et F, 50 μm.)

Caractères mâles: Bulbe œsophagien très allongé, aile latérale simple et peu développée (fig. 1 A et 1 I); bourse eaudale caractérisée par la présence d'expansions membranaires latérales très développées soutenues par la première paire de papilles caudales très fortement pédonculées (fig. 1 A, F et G); dans la moitié postérieure du corps, les stries cuticulaires ventrales sont très espacées et la cuticule ventrale est légèrement épaissie dans sa partie médiane (fig. 1 F et H).

Caractères femelles : Ailes latérales dédoublées en deux crêtes parallèles (fig. 2 E et F) ; œuf de grande taille (fig. 2 D).

Discussion : Nos spécimens sont identiques à eeux décrits par Inglis et Dunn (1964) ehez le même hôte et dans la même région, et nous les identifions à *T. tamarini*.

Trypanoxyuris (Hapaloxyuris) oedipi Inglis et Cosgrove, 1965

MATÉRIEL ÉTUDIÉ: Nombreux spécimens des deux sexes collectés par W. N. Smith au Brésil, dans le tube digestif d'un Oedipomidas oedipus (L.). USDA 69/316.

DESCRIPTION

Caractères mâles: La bourse eaudale ne montre pas d'expansions membraneuses aussi développées que dans l'espèce précédente (fig. 3 H et J); l'ornementation cuticulaire ventrale est limitée au quart postérieur du corps: l'épaississement très marqué de la cutieule dans cette région forme une véritable erête sagittale dont la surface est finement striée transversalement (fig. 3 A, J et K); les phasmides ne débouchent pas entre les deux dernières paires de papilles caudales comme dans toutes les autres espèces du genre: leur conduit a un trajet récurrent et vient s'ouvrir entre la 2e et la 3e paire caudale (fig. 3, G, H, J).

Caractères femelles: L'ouverture buecale est plus petite et les lèvres moins développées que dans l'espèce précédente; la lèvre dorsale n'est pas hypertrophiée (fig. 4 C); l'appareil génital présente les earactéristiques observées dans toutes les autres espèces du genre (fig. 4, A, D, E, F, l et J).

Discussion : Les earaetères et les mensurations de nos spécimens correspondent à ceux décrits chez le même hôte par Inglis et Cosgrove (1965), et nous les identifions à $T.\ oedipi.$

Trypanoxyuris (Hapaloxyuris) goeldii Inglis et Cosgrove, 1965

MATÉRIEL ÉTUDIÉ: 1 ♂ et 5 ♀ collectés chez un Callimico goeldii (Thomas). Collections du British Museum, nº 1965 (331-336).

DESCRIPTION

Caractères mâles: Expansions eutieulaires caudales réduites; ornementation cuticulaire ventrale analogue à eelle décrite chez T. oedipi, mais plus eourte et divisée en deux erêtes sagittales successives (fig. 5 A et B); phasmides récurrentes (fig. 5 C).

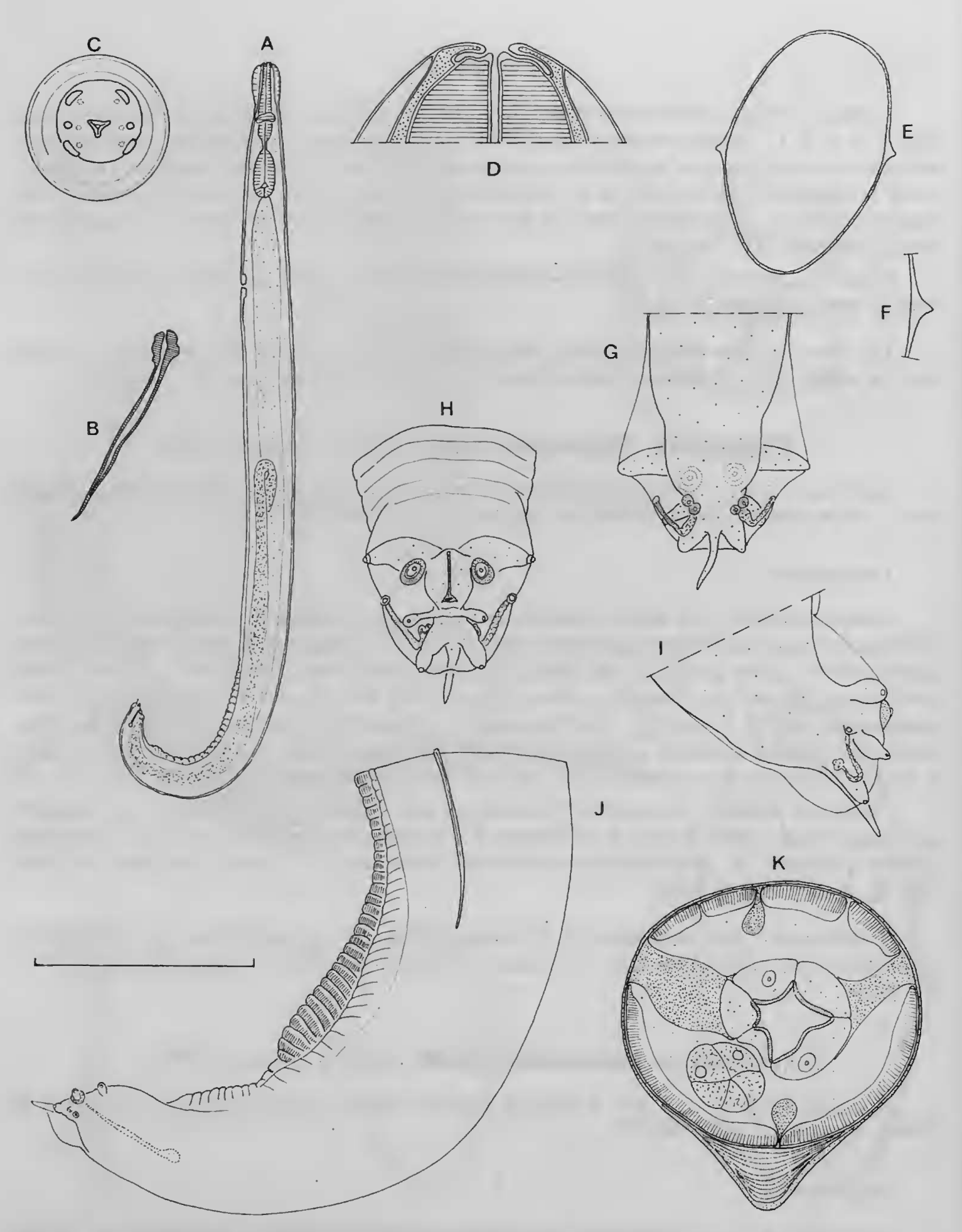


Fig. 3. — Trypanoxyuris (Hapaloxyuris) oedipi Inglis et Cosgrove, 1965, δ. A, vue latérale gauehe; B, spieule, vue latérale gauehe; C, tête, vue apicale; D, id., eoupe optique en vue ventrale; E, coupe transversale au milieu du corps; F, id., détail de l'aile latérale; G, bourse caudale, vue dorsale; H, id., vue ventrale; I, id., vue latérale droite; J, région caudale, vue latérale gauche; K, coupe transversale dans la partie postérieure du eorps. (Valeur de l'éehelle: A, 500 μm; B, C, D, F, G, I et K, 50 μm; E et J, 100 μm.)

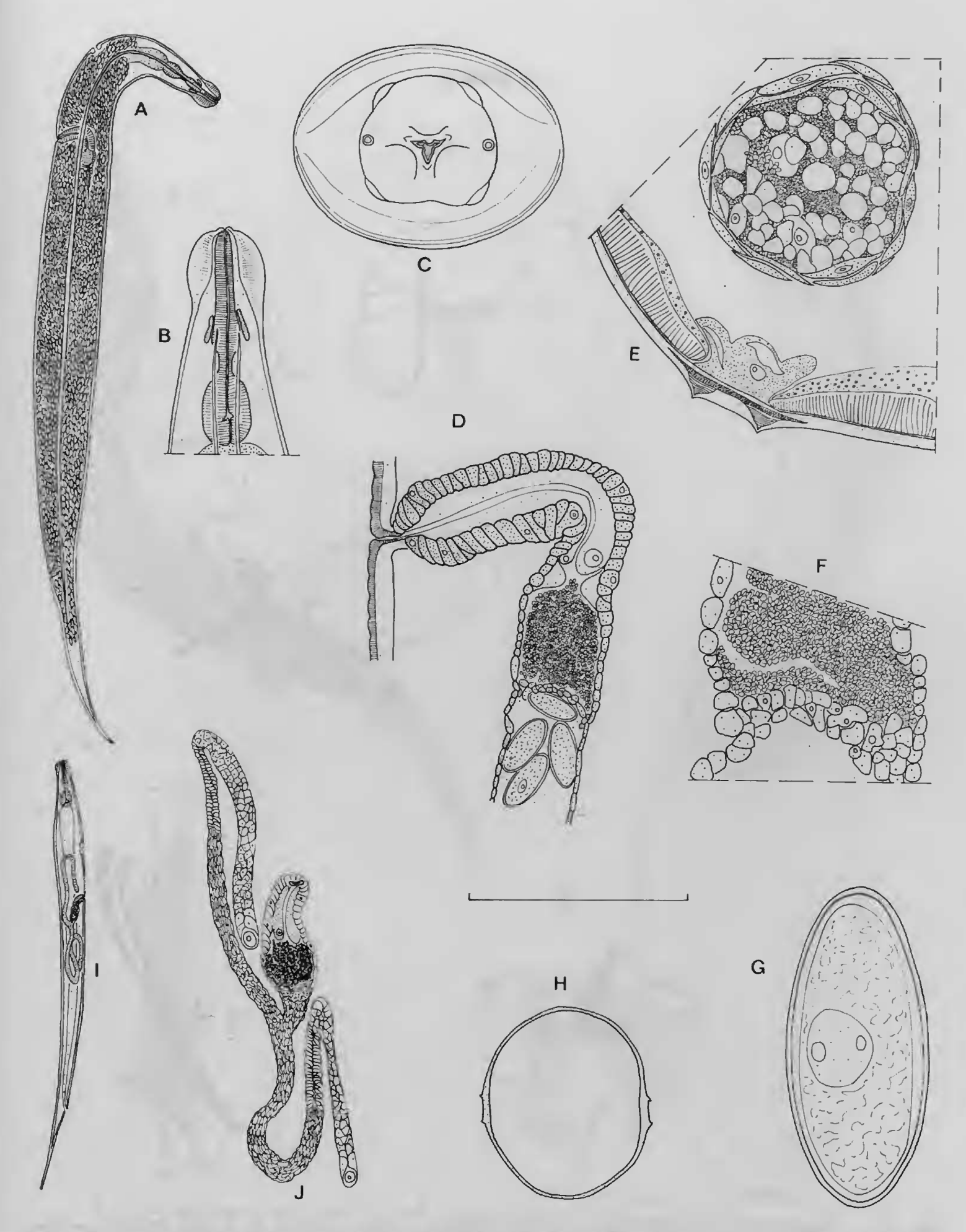


Fig. 4. — Trypanoxyuris (Hapaloxyuris) oedipi Inglis et Cosgrove, 1965, Q. A, vue latérale gauche; B, région cervieale, détail de la précédente; C, tête, vue apicale; D, détail de l'ovéjecteur d'une femelle adulte gravide, vue latérale gauche; E, id., coupe transversale à la limite du vagin épithélial et de la trompe utérine; F, même région, vue latérale; G, œuf; H, coupe transversale au milieu du corps; I, jeune femelle inséminée, vue latérale droite; J, id., détail de l'appareil génital en vue ventrale. (Valeur de l'échelle: A, 1600 μm; B et H, 500 μm; C et G, 50 μm; D et J, 250 μm; E et F, 100 μm.)



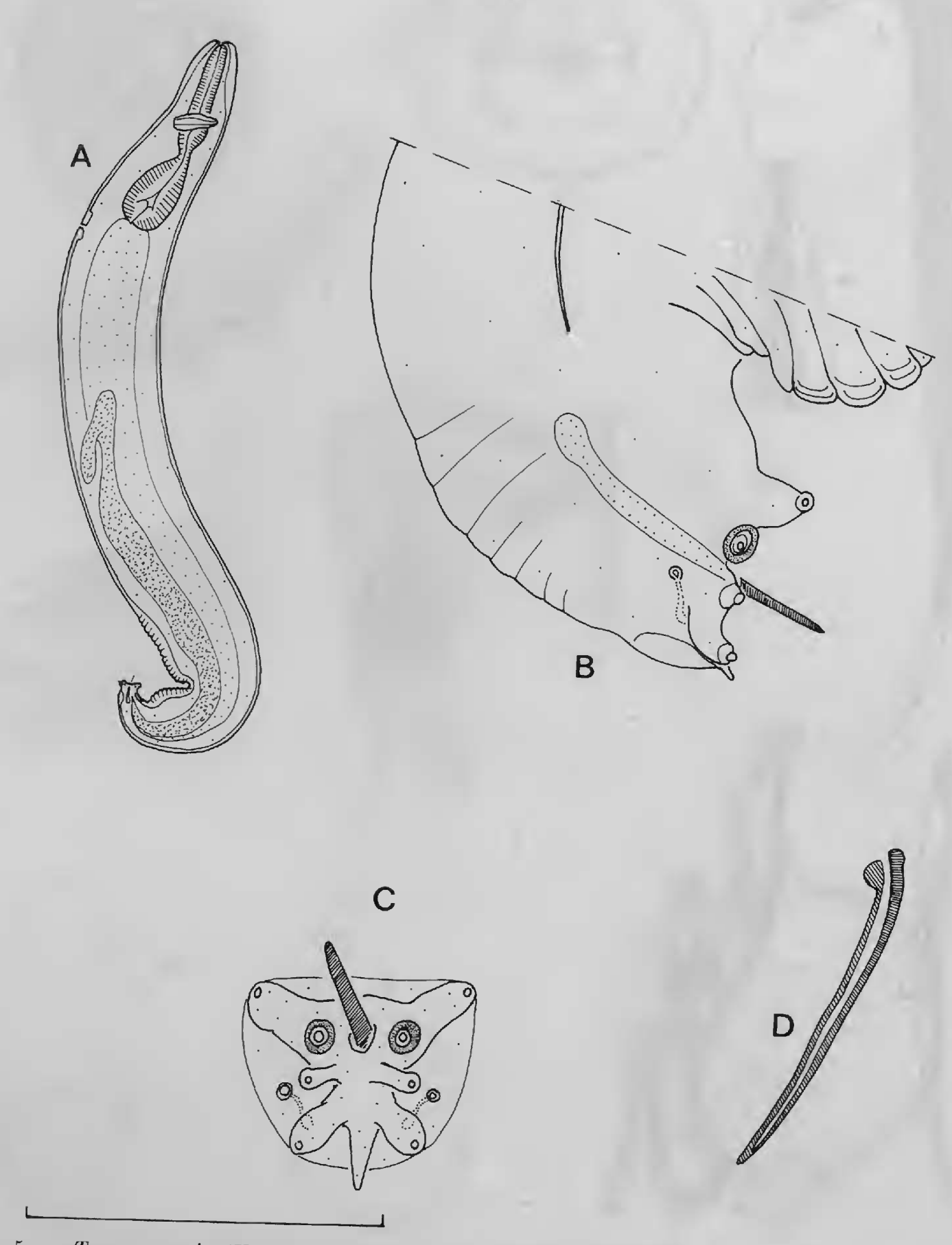


Fig. 5. — Trypanoxyuris (Hapaloxyuris) goeldii Inglis et Cosgrove, 1965, β. A. vue latérale gauche; B. bourse eaudale, vue latérale droite; C. id., vue ventrale; D. spicule, vue latérale gauche. (Valeur de l'échelle: A. 500 μm; B. C. et D. 50 μm.)

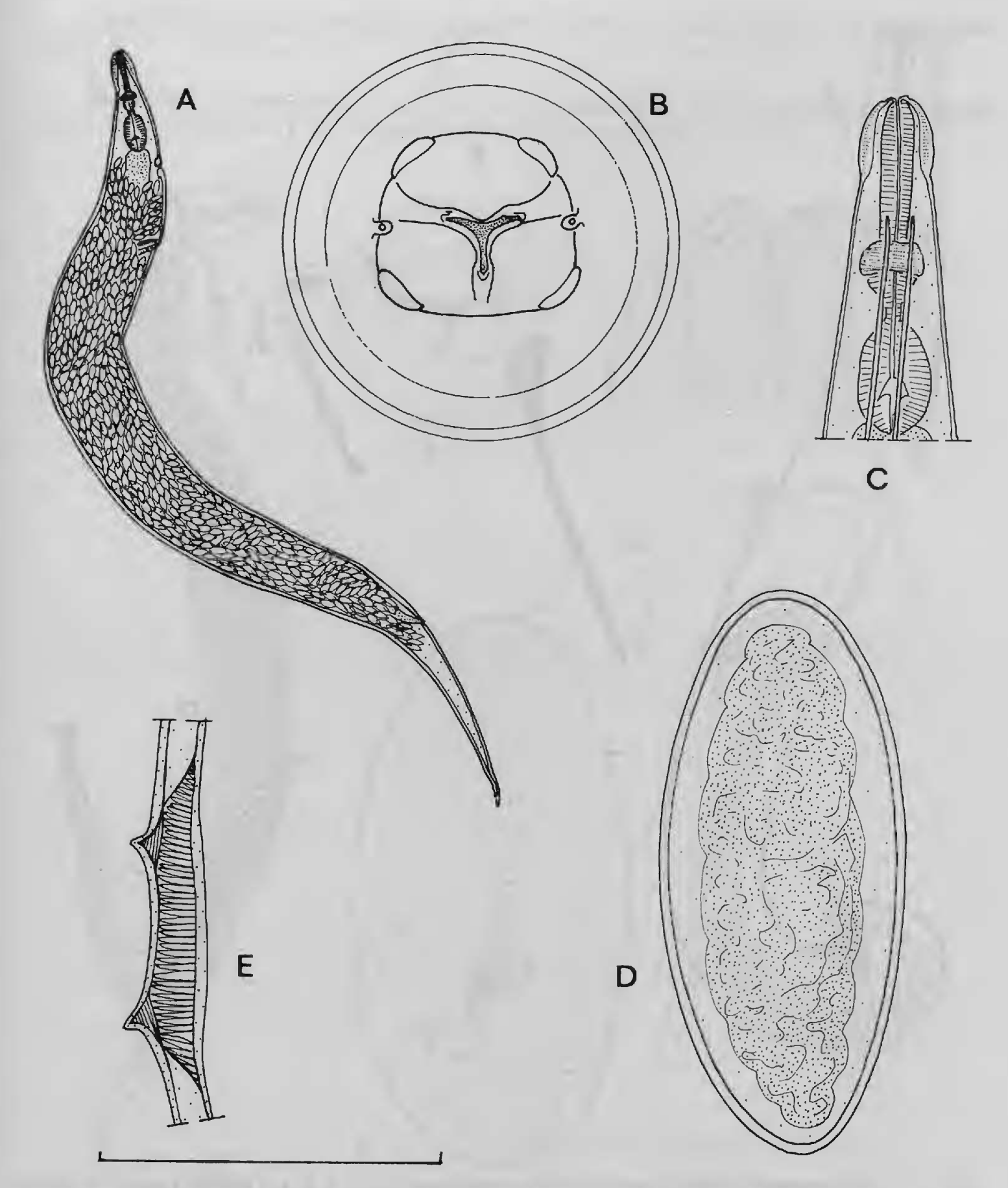


Fig. 6. — Trypanoxyuris (Hapaloxyuris) goeldii Inglis et Cosgrove, 1965, Q. A, vue latérale droite; B, tête, vue apicale; C, détail de la région cervicale, vue latérale droite; D, œuf; E, aile latérale en coupe transversale. (Valeur de l'échelle: A, 1 600 μm; B, D et E, 50 μm; C, 500 μm.)

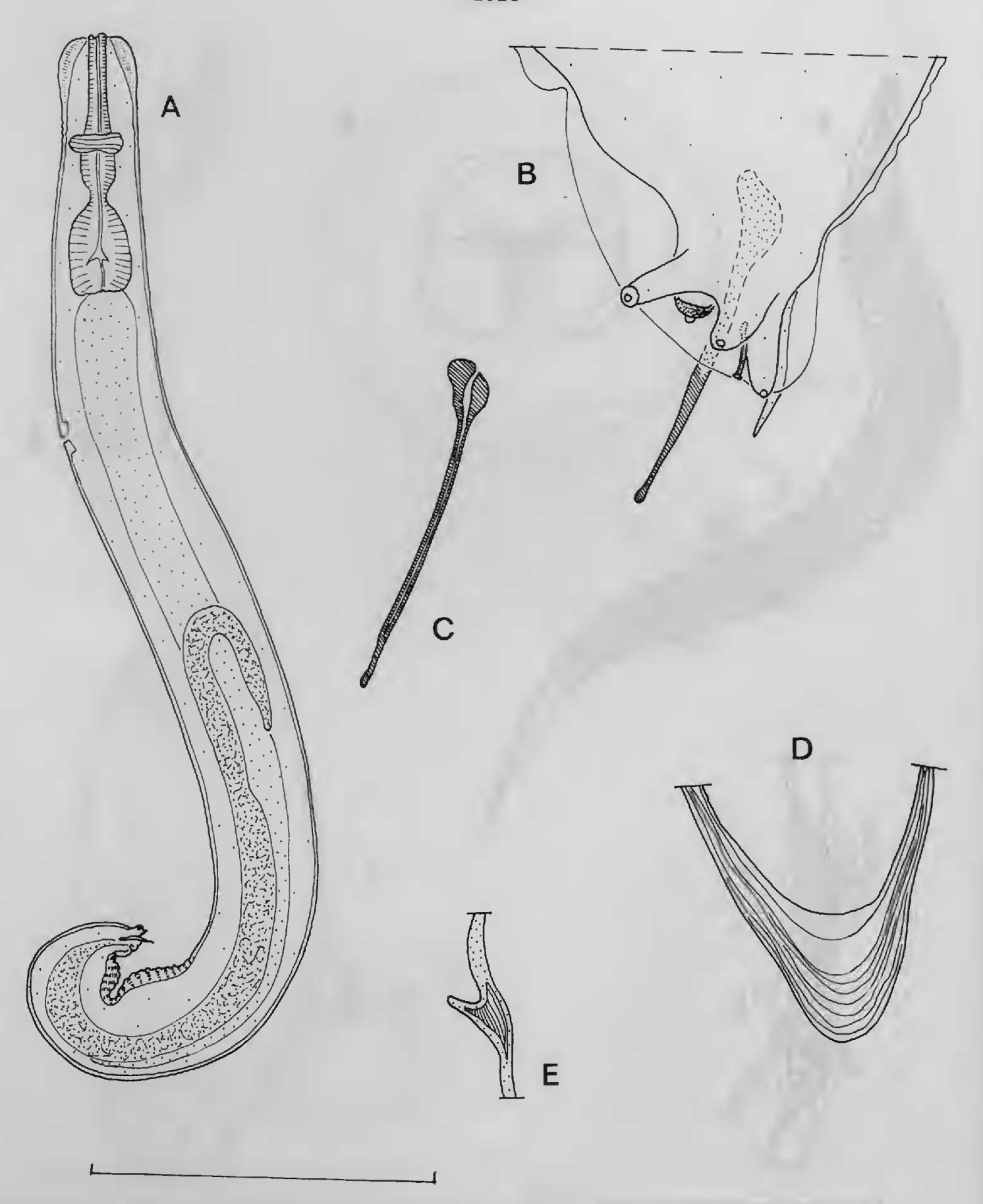


Fig. 7. — Trypanoxyuris (Hapaloxyuris) callithricis (Solomon, 1933), δ. A, vue latérale gauche; B, bourse caudale, vue latérale gauche; C, spicule, vue latérale gauche; D, détail de l'ornementation cuticulaire ventrale sur une coupe transversale du corps; E, aile latérale, coupe transversale. (Valeur de l'échelle: A, 500 μm; B, C, D et E, 50 μm.)

Caractères femelles : Extrémité céphalique identique à celle décrite chez T. tamarini (fig. 6 B).

Discussion : Les spécimens que nous avons étudiés font partie du matériel type décrit par Inglis et Cosgrove et correspondent à leur description.

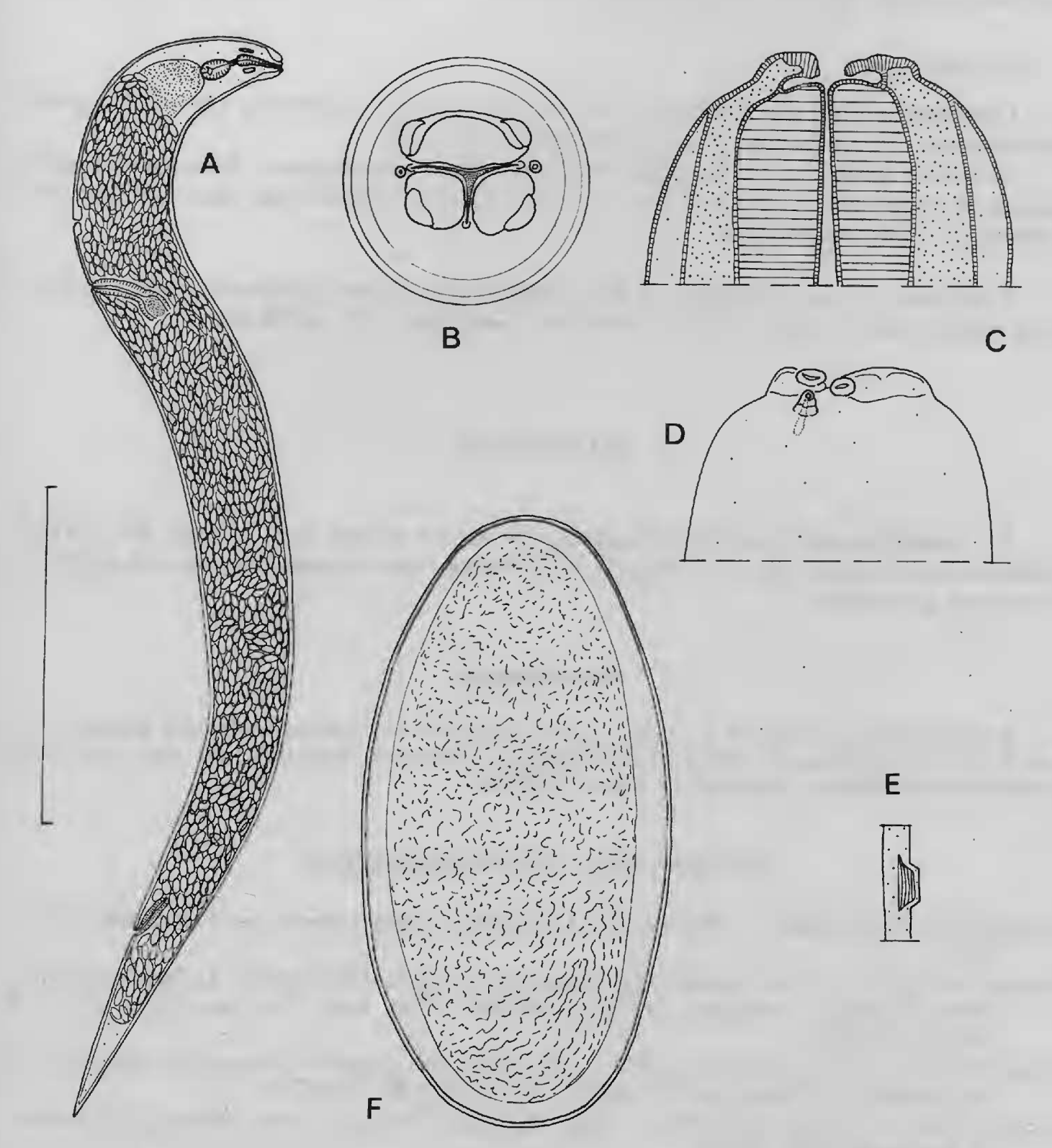


Fig. 8. — Trypanoxyuris (Hapaloxyuris) callithricis (Solomon, 1933), Q. A, vue latérale gauche; B, tête, vue apicale; C, id., coupe optique en vue ventrale; D, id., vue latéral gauche; E, aile latérale, coupe transversale; F, œuf. (Valeur de l'échelle: A, 1 600 μm; B, C, D, E et F, 50 μm.)

Trypanoxyuris (Hapaloxyuris) callithricis (Solomon, 1933)

MATÉRIEL ÉTUDIÉ: Quelques spécimens & et Q collectés par W. N. Smith au Brésil chez un Callithrix jacchus (L.): USDA 69/306. Quelques spécimens mal conservés provenant d'un hôte de la même espèce, capturé au Brésil: MNHN 157 U.

DESCRIPTION

Caractères mâles: Les mâles de cette espèce sont très proches de ceux de T. goeldii, mais le trajet des phasmides n'est pas récurrent (fig. 7 B).

Caractères femelles : Les femelles de cette espèce se distinguent de toutes les autres espèces du sous-genre par leurs ailes latérales réduites formées par deux petites crêtes parallèles et très rapprochées.

Discussion : Les caractères et les mensurations de nos spécimens correspondent à ceux décrits par Solomon (1933) et nous les identifions à T. callithricis.

CONCLUSION

La répartition du sous-genre *Hapaloxyuris* est en accord avec la règle de Cameron (1929), selon laquelle, chez les Oxyures de Primates, une espèce parasite est spécifique de chaque genre hôte.

Remerciements

Nous remercions le Dr. D. I. Gibson, du Parasitic Worms section du British Museum, et le Dr. R. L. Lichtenfels, de l'Animal Parasitology Institute de Beltsville, qui nous ont permis d'étudier les spécimens provenant de leurs collections.

RÉFÉRENCES BIBLIOGRAPHIQUES

- Cameron, T. W. M., 1929. The species of *Enterobius* Leach in primates. J. Helminth., 7:161-182.
- Hugor, J.-P., 1984. Sur le genre Trypanoxyuris (Oxyuridae, Nematoda). I. Parasites de Rongeurs Sciuridés : sous-genre Rodentoxyuris. Bull. Mus. natn. Hist. nat., Paris, 4e sér., 6, A, (3) : 711-720.
- Inglis, W. G., et G. E. Cosgrove, 1965. The pin-worm parasites (Nematoda: Oxyuridae) of the Hapalidae (Mammalia: Primates). *Parasitology*, **55**: 731-737.
- Inglis, W. G., et F. L. Dunn, 1964. Some Oxyurids (Nematoda) from Neotropical Primates. Z. Parasitenk., 24: 83-87.
- Quentin, J. C., et F. Tenora, 1975. Morphologie et position systématique de Lemuricola (Rodentoxyuris) sciuri (Cameron, 1932) nov. comb. nov. subgen., et Syphacia (Syphati-

- neris) funambuli Johnson, 1967. Oxyures (Nematoda) parasites de Rongeurs Sciuridés. Bull. Mus. natn. Hist. nat., Paris, 3e sér., no 256, Zool. 178: 1525-1535.
- Solomon, S. G., 1933. On a new species of *Enterobius* from the Marmoset (Callithrix jacchus). J. Helminth., 11 (2): 95-100.
- Vevers, C. M., 1923. Some new and little known helminths from British Guiana. J. Helminth., 1:35-45.

